

## ВИХРЕВОЙ ПРЕОБРАЗОВАТЕЛЬ ПОТОКОВ СПЛОШНОЙ СРЕДЫ

*P. A. Серебряков, кандидат технических наук*  
**ФГБНУ «Всероссийский научно-исследовательский институт  
электрификации сельского хозяйства» г. Москва, Россия**  
*e-mail: ruds@list.ru*

*Аннотация. В проблемах преобразования солнечной и ветровой энергии, а также энергии гидроресурсов применение закрученных ламинизованных потоков способно сыграть важную роль в связи с термогидравлической особенностью этих течений, концентрирующих в вихревой струе потоки кинетической энергии, рассеянные в окружающем пространстве. Это позволяет использовать низкопотенциальные термовосходящие течения, индуцированные солнечным нагревом, слабые ветра и кинетическую энергию потоков в руслах рек и гидроканалов.*

**Ключевые слова:** *ветер, ветроэнергетика, вихревой эффект, вихревой ветропреобразователь*

Ветровой энергетический потенциал России в несколько раз превышает сегодняшние потребности страны в электроэнергии, однако, конструкционные особенности современных лопастных ветряков и низкие скорости ветров на территории России делают невозможным его использование. Для эффективной работы лопастных ветряков необходима скорость ветра более 6 м/с.

Использование ветроустановок на базе вихревых преобразователей потоков сплошной среды, способных использовать низкопотенциальные воздушные потоки (малые ветра), утилизированные тепловые потоки, сбрасываемые во внешнюю среду промышленными предприятиями и возможности преобразования гелио и гелиотермальной энергии в виде термоиндукционных восходящих струй воздуха, позволит вырабатывать электроэнергию на воздушных потоках, движущихся со скоростью от 3-4 м/с [1, 2, 3, 4].

В основе работы (и конструкции) вихревого преобразователя потоков сплошной среды (ВП) положен т.н. «вихревой эффект»[5, 6, 7, 8, 9, 10]. В результате многолетних исследований с использованием аэродинамических труб ЦАГИ были созданы теоретические основы и конструкции ветроустановок нового класса, алгоритмы и методики расчета устройств, использующих «вихревой эффект», а также модели и опытные образцы.

**Цель исследований** – разработка вихревой ветроэнергетической установки (ВВЭУ), способной использовать низкопотенциальные воздушные потоки.

**Материалы и методика исследований.** Конструкция ВП (рис.1) содержит: входное и вытяжное устройство, направляющие аппараты (рис.2), ротор (рис.3) и дефлектор. Установка автоматически подстраивается под реальную скорость ветра и обеспечивает преобразование энергии ветра с высокой эффективностью и широком диапазоне ветров (рис.4) [11, 12, 13, 14].

Особенности ВП относительно традиционных ветряков:

- в 1,5-2 раза меньше рабочая скорость ветра и массо-габаритные параметры;
- «ротор-генератор» исключает вал, нет системы «установка на ветер»;
- конструкция предполагает её модульное исполнение из идентичных функциональных модулей (рис.5);
- стабилизация числа оборотов ротора обеспечивается изменением входной площади воздухозаборника;
- коэффициент использования энергии ветра  $\xi \approx 0,3$ ; быстроходность  $Z \approx 1,5-2,0$ .



Рис.1.  
Конструкция ВП



Рис.2.  
Элемент  
направляющего  
аппараты



Рис.3.  
Ротор

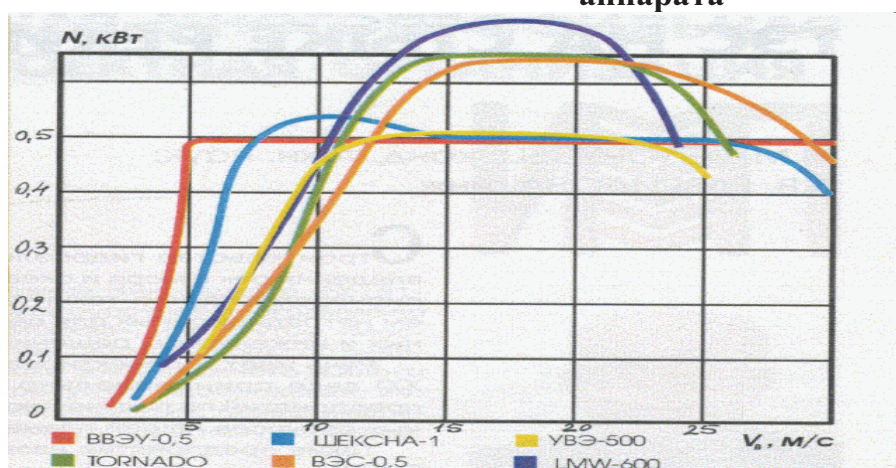


Рис.4. Графики  $N = f(V_b)$   
для различных вариантов ВЭУ

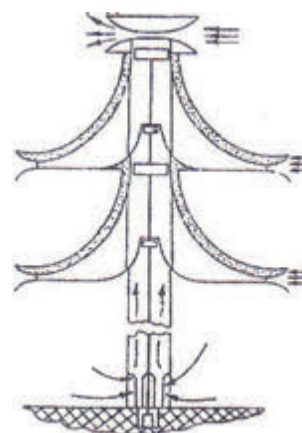


Рис.5. Схема  
модульного исполнения ВП

Создание вихревых преобразователей потоков сплошной среды (ВП) основано на возможности формирования ламинаризованных закрученных потоков, образованных кривыми второго порядка в вертикальной плоскости и по спирали Архимеда в горизонтальной плоскости, подобных по своим свойствам природному смерчу, обладающему значительным запасом кинетической энергии [15, 16, 17].

**Результаты исследований.** Рассмотрим коротко физические процессы, протекающие при работе вихревого преобразователя. Круговое трехмерное осесимметричное установившееся течение вязкого, сжимаемого, теплопроводного газа описывается системой уравнений движения, сплошности, энергии и состояния, которая в цилиндрической системе координат имеет вид:

– уравнение движения:

$$\begin{aligned} v_r \frac{\partial v_r}{\partial r} + v_z \frac{\partial v_r}{\partial z} - \frac{v_\tau^2}{r} &= -\frac{1}{\rho} \frac{\partial p}{\partial r} + \sqrt{\left( \frac{\partial^2 v_r}{\partial r^2} + \frac{\partial^2 v_r}{\partial z^2} + \frac{1}{r} \frac{\partial v_r}{\partial r} - \frac{v_r}{r^2} \right)} \\ v_r \frac{\partial v_\tau}{\partial r} + v_z \frac{\partial v_\tau}{\partial z} + v_r \frac{v_r}{r} &= \sqrt{\left( \frac{\partial^2 v_\tau}{\partial r^2} + \frac{\partial^2 v_\tau}{\partial z^2} + \frac{1}{r} \frac{\partial v_\tau}{\partial r} - \frac{v_\tau}{r^2} \right)} \\ v_r \frac{\partial v_z}{\partial r} + v_z \frac{\partial v_z}{\partial r} &= -\frac{1}{\rho} \frac{\partial p}{\partial z} + \sqrt{\left( \frac{\partial^2 v_z}{\partial r^2} + \frac{\partial^2 v_z}{\partial z^2} + \frac{1}{r} \frac{\partial v_z}{\partial r} \right)} \end{aligned}$$

– уравнение сплошности:

$$\frac{\partial(\rho \cdot r \cdot v_r)}{\partial r} + \frac{\partial(\rho \cdot r \cdot v_z)}{\partial z} = 0$$

– уравнение энергии:

$$\begin{aligned} \rho \cdot C_p \cdot \left( v_r \frac{\partial T}{\partial r} + v_z \frac{\partial T}{\partial z} \right) &= v_r \frac{\partial p}{\partial r} + v_z \frac{\partial p}{\partial z} + \frac{1}{r} \frac{\partial}{\partial r} \left( r \lambda \cdot \frac{\partial T}{\partial r} \right) + \\ &+ \frac{\partial}{\partial z} \left( \lambda \cdot \frac{\partial T}{\partial z} \right) + \nu' \left\{ 2 \cdot \left[ \left( \frac{\partial v_r}{\partial r} \right)^2 + \left( \frac{v_r}{r} \right)^2 + \left( \frac{\partial v_z}{\partial z} \right)^2 \right] + \right. \\ &\left. + \left( \frac{\partial v_r}{\partial z} + \frac{\partial v_z}{\partial r} \right)^2 + \left( \frac{\partial v_\tau}{\partial r} + \frac{v_\tau}{r} \right)^2 \right\} - \frac{2}{3} \cdot \nu' \cdot \left( \frac{\partial v_r}{\partial r} + \frac{v_r}{r} - \frac{\partial v_z}{\partial z} \right)^2 \end{aligned}$$

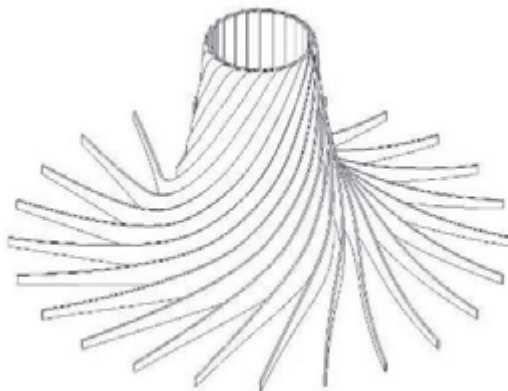
– уравнение состояния:

$$p = \rho \cdot R \cdot T$$

Решая приведенные выше уравнения, можно прийти к выводу, что в радиально-круговом потоке газа ни вязкость, ни сжимаемость не могут изменить закона потенциального потока (закона свободного вихря) в распределении скорости и постоянства полной температуры по радиусу. Также известно, что устойчивость круговых потоков обеспечивается во всех случаях, когда возмущения приводят к увеличению момента количества движения на внешней границе потока или уменьшению на его внутренней границе.

Статор ВП, являющийся генератором закрученного потока (рис.6) , образован группой симметрично расположенных по окружности каналов, воспроизводящих траекторию движения воздушных струй в природных смерчах, стекающихся в центральную осевую зону статора.

В приосевой, центральной области сформированного в устройстве вихря давление понижено по отношению к внешнему атмосферному давлению, что способствует образованию тяги и всасыванию тем самым в этот смерчеобразный столб дополнительной массы воздуха.



**Рис. 6 Генератор закрученного потока**

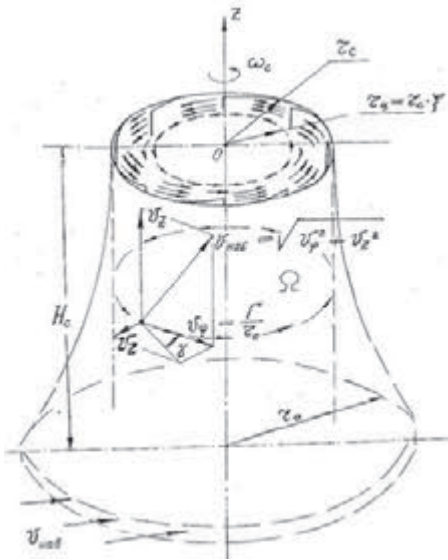
Вихревое движение возникает в турбулентном потоке вязкого сжимаемого газа, имеющем градиент статического давления по нормали к направлению основного движения. Стоит отметить, что градиент статического давления может быть обусловлен гравитационными, инерционным, электрическим или магнитным полями.

Важным фактором, вынуждающим воздух двигаться по заданным траекториям, является избыточное давление торможения  $p$ , определяющее величину азимутальной компоненты скорости вращения потока при выбранной форме закручивающего канала статора.

Величина избыточного давления торможения определяется как:

$$p^* = p(r, z) + \frac{\rho [V_\phi(r)]^2}{2} + \rho \int_0^r \frac{[V_\phi(r)]^2}{2} dr$$

Зная давление торможения для всех сечений канала можно определить значения компонентов скорости потока - осевой  $V_z(r)$ , радиальной  $V_r(r)$  и азимутальной  $V_\phi(r)$  (рис. 7). Физический смысл составляющих ( $V_z(r)$ ,  $V_r(r)$ ,  $V_\phi(r)$ ) скорости потока позволяет считать, что  $V_r(r)$  интенсифицирует давление у стенок цилиндрической камеры статора ВП;  $V_z(r)$  расходуется в энергетическом балансе на преодоление гидравлического сопротивления в осевом движении вихря;  $V_\phi(r)$  частично преобразуется в энергию в форме механической работы потока на лопатках ротора ВП и частично рассеивается в окружающую среду.



**Рис. 7 Компоненты скорости потока в цилиндрической зоне статора**

Условием работоспособности вихревого преобразователя является зависимость:

$$p(r, z) + \frac{\rho V_{z(\text{вых})}^2}{2} \geq p_{\text{атм}}.$$

При условии, что вся энергия потока с компонентой скорости  $V_\phi$  полностью перейдет в полезную работу, а величина  $p(r, z)$  – давление за ротором ВП. Если это условие не соблюдается, то часть кинетической энергии закрученного потока следует превращать в давление подтормаживания струи. Очевидно так же, что ВП имеет свои границы устойчивой работы, определяемые минимальными значениями  $p(r, z)$  и  $V_z(r)$ .

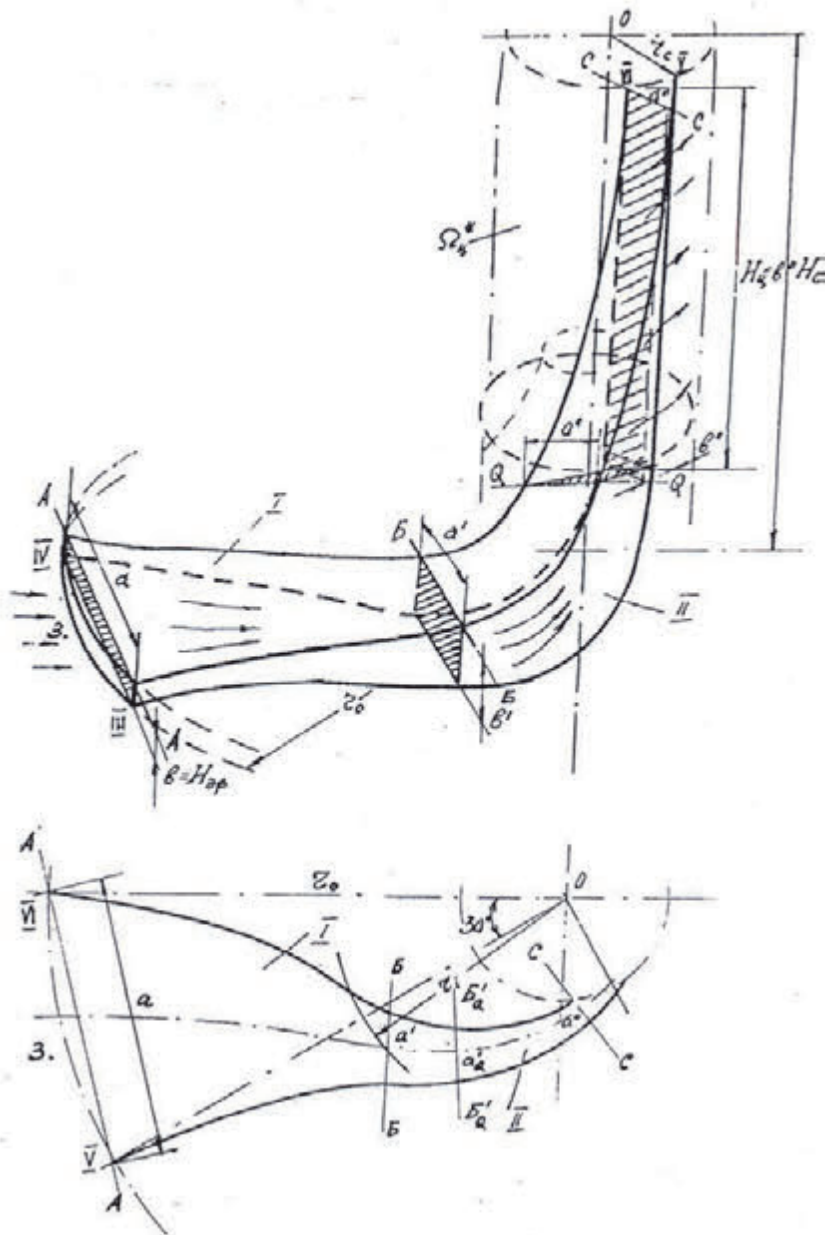
Каналы проектируемого ВП имеют специальный профиль (рис. 8) в горизонтальной и вертикальной плоскостях, меняющийся от сечения к сечению, так что в центральную зону должны поступать струи, "сшивающиеся" в общий смерчеобразный вихревой поток, движение в канале рассматривается как безотрывное, ускоряющееся к выходной щели.

Траектория воздушных струй, обеспечивающая условия для образования квазипотенциального ламинаризованного потока, подобного природному смерчу, описывается системой из двух уравнений, характеризующих ее в двух плоскостях. Проекция траектории на горизонтальную плоскость описывается уравнением:

$$\varphi_1 = \varphi_0 + [V_\phi(r)/r] \cdot [1/r^{21} - 1/r^{20}],$$

а в вертикальной плоскости проекции, соответствующей уравнению:

$$z_i = \frac{\text{const}}{r_i^2}$$



**Рис. 8 Схема канала статора**

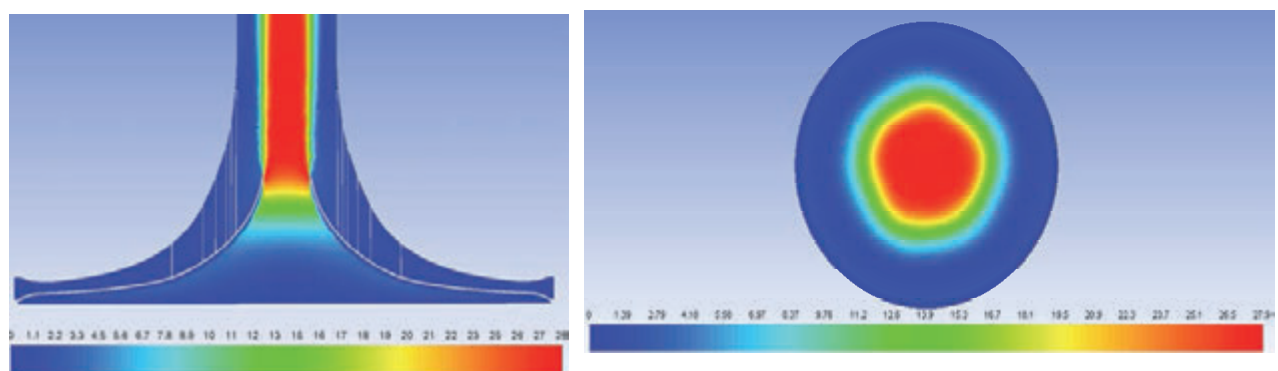
Условно можно в первом приближении представить вихревой преобразователь как аналог вихревой самовакуумирующейся трубы. На выходе установлен ротор, а цилиндрическая зона статора выполняет функцию направляющего аппарата турбины.

**Выводы.** Таким образом, при втекании воздуха из атмосферы в зону вихреобразования через тангенциальные направляющие каналы в вихревой зоне возникает интенсивный круговой поток или свободный вихрь, перемещающийся в сторону выходного сечения статорной части установки. По мере осевого перемещения этот поток взаимодействует с заполняющим приосевую ось потоком эжектируемого снизу потока воздуха. За счет воздействия внешнего кругового потока приосевой поток, являющийся вынужденным вихрем, закручивается в ту же сторону и движется в сторону выходного сечения под действием осевого градиента

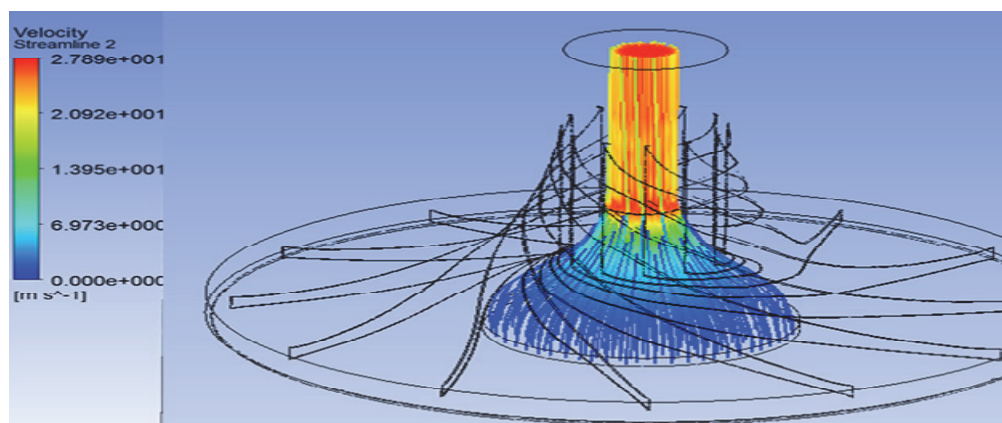
давления. В таблице и на рис.9, 10, 11, 12 представлены результаты компьютерного исследования потоков сплошной среды в вихревой и периферийной зонах вихревого преобразователя.

#### **Результаты компьютерного исследования потоков сплошной среды в вихревой и периферийной зонах вихревого преобразователя**

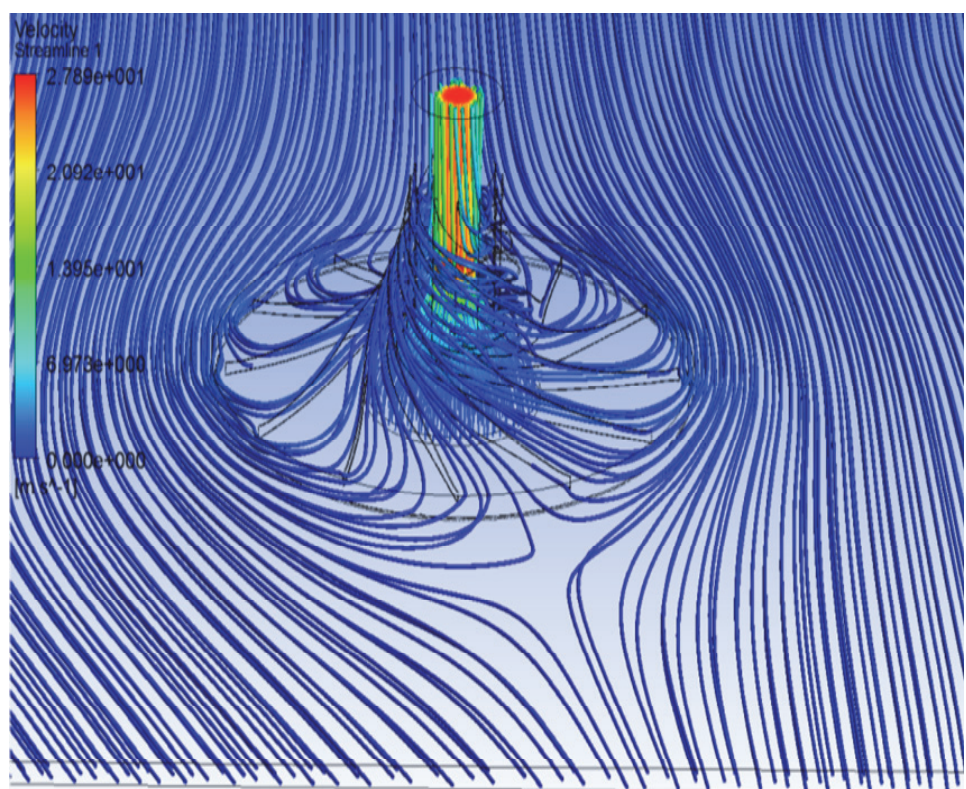
	Массовый расход воздуха, кг/с	Полное давление, Па	Скорость, м/с
На входе воздуха	0.0051833163	101325	0.27886328
На входе газа	0.02398211	101773.14	0.2
На выходе из установки	0.029139828	101582.27	18.855532



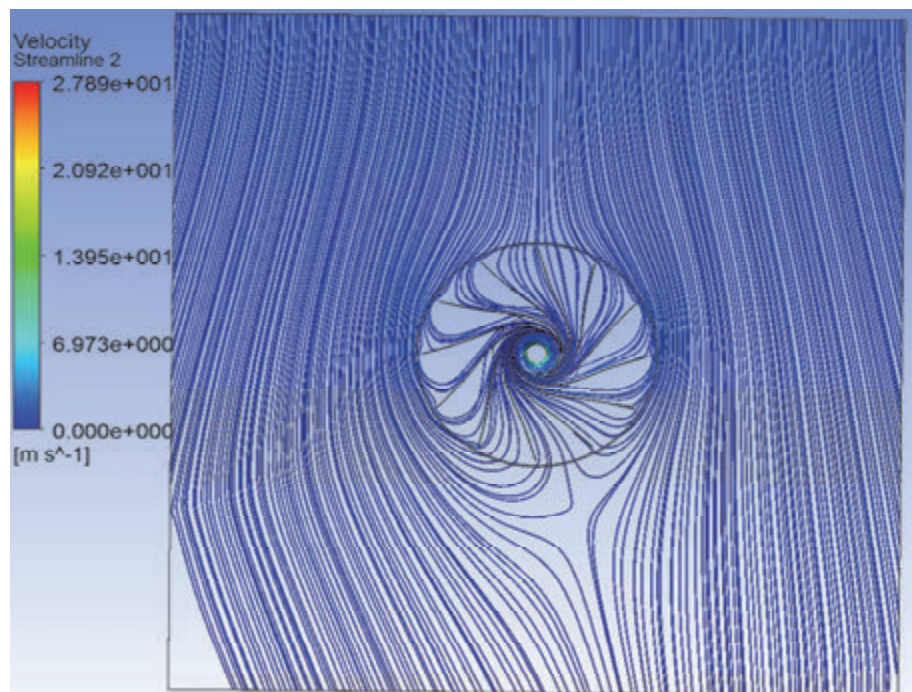
**Рис.9. Поля скоростей потоков рабочего тела на входе в статорную часть установки**



**Рис.10. Распределение скоростей рабочего тела от входа – к выходу из статорной части установки**



**Рис.11. Линии тока набегающего воздушного потока**



**Рис.12. Линии тока воздушного потока (вид сверху)**

## Список литературы

1. Бирюк В.В. Вихревая ветроэнергетическая установка / В.В. Бирюк В.В., Р.А. Серебряков // Труды 7-й Международной н/т конференции. Ч. 4 «Энергосбережение и энергообеспечение в сельском хозяйстве. – М.: ГНУ ВИЭСХ, 2010. – С. 248–252.
2. Газо-ветроэнергетическая установка / В.В. Бирюк, Р.А. Серебряков, Ю.И. Цыбизов, Л.П. Шелудько // Альтернативный киловатт. – 2011. – №5. – С. 48–51.
3. Бирюк В.В. Вихревая ветро-солнечная энергетическая установка / В.В. Бирюк, Р.А. Серебряков, В.Н. Зазимко // Альтернативная энергетика и экология. – 2013. – №7. – С. 23–26.
4. Серебряков Р.А. Vortex effect – vortex energy technologies / Р.А. Серебряков, В.В. Бирюк // Research in Agricultural Electric Engineering. – 2013. – V.4. – №4. – P. 74–78.
5. Серебряков Р.А. Исследование СВТ с вращающимся диффузором / Р.А. Серебряков, В.Т. Волов. – 9 с. – Деп. в ВИНИТИ, 1984, №5713.
6. Серебряков Р.А. Анализ возможности использования СВТ с вращающимся диффузором / Р.А. Серебряков, В.Т. Волов // Межвузовский сборник КУАИ «Аэродинамика ЛА и их систем». – 1987. – С. 134–138.
7. Серебряков Р.А. Практическое применение вихревого эффекта / Р.А. Серебряков, В.В. Бирюк // Конверсия. – 1994. – №10. – С. 19–20.
8. Серебряков Р.А., Некоторые вопросы теории вихревой энергетики / Р.А. Серебряков // Научные труды ВИЭСХ. – 1999. – Т. 85. – С. 34–54.
9. Серебряков Р.А. Вихревая энергетика / Р.А. Серебряков // Научные труды ВИЭСХ. – 2000. – Т. 86. – С. 80–92.
10. Серебряков Р.А. Вихревая ветроэнергетическая установка / Р.А. Серебряков, В.В. Бирюк // Сб. «Ракетно-техническая техника» – Самара, 2000. – Сер. XII. – С. 43–73.
11. Серебряков Р.А. Вихревая ветроэнергетика / Р.А. Серебряков, А.Б. Калениченко, // Строительные материалы, оборудование и технологии XXI века. – 2001. – №11. – С. 28–29.
12. Энергия вихря и энергия вакуума – от теории к практике / Серебряков Р.А., Калениченко А.Б., Савченко А.М., Родионов Ю.Н. // Энергетика и промышленность России. – 2003. – № 6. – С. 10–12.
13. Серебряков Р.А.. Автономная ветроэнергетика / Р.А. Серебряков // Строительные материалы, оборудование и технологии XXI века. – 2004. –7. – С. 53–55.
14. Серебряков Р.А. Вихревая энергетика в энергосберегающих технологиях / Р.А. Серебряков, В.В. Бирюк Ш.А. Пиралишвили // Сб. докл. XIX школы-семинара «Проблемы газодинамики и тепломассообмена в энергетических технологиях», г. Орехово-Зуево – М. Издат. дом МЭИ, 2013. – С. 15–16.
15. Бирюк В.В. Методика расчета вихревых установок / В.В. Бирюк, Р.А. Серебряков, А.П. Толстоногов. – Самара: НТО СГАУЦ, 1992. – 96 с.
16. Краснов Ю.К. Эволюция смерчеобразных течений вязкой жидкости / Ю.К. Краснов, Г.И. Кикнадзе // ДАН СССР. – 1986. – Т.290. – №6. – С.1315.
17. Пат. №1779283 СССР. Способ формирования потоков сплошных сред / Краснов Ю.К., Кикнадзе Г.И., Серебряков Р.А. – № 4885120; заявл. 25.11.1990; опубл. 30.11.1992, Бюл. 44.

## ВИХРОВИЙ ПЕРЕТВОРЮВАЧ ПОТОКІВ СУЩЛЬНОГО СЕРЕДОВИЩА

*P.O. Серебряков*

*Анотація.* У проблемах перетворення сонячної та вітрової енергії, а також енергії гідроресурсів застосування закручених ламінизованих потоків здатне зіграти важливу роль у зв'язку з термогідравлічними особливостями цих течій, які концентрують у вихровому струмені потоки кінетичної енергії, розсіяні в навколошньому просторі. Це дозволяє використовувати низькопотенційні термовисхідні течії, індуковані сонячним нагріванням, слабкі вітри і кінетичну енергію потоків у руслах річок і гідроканалів.

**Ключові слова:** *вітер, вітроенергетика, вихровий ефект, вихровий віброперетворювач*

## VORTEX CONVERTER OF CONTINUOUS MEDIUM FLOW

*R. Serebryakov*

*Annotation.* The problems of conversion of solar and wind energy, as well as the use of hydro energy laminated swirling flows can play an important role in connection with the thermal-hydraulic feature of these trends, concentrating in the swirl jet flows kinetic energy scattered in the surrounding area. This allows the use of low-potential thermal ascending flow induced by solar heating, weak wind and kinetic energy flows in rivers and water channels.

**Keywords:** *wind, wind energy, the vortex effect, the vortex wind converter*